

# Tarea 4 Física Numérica

Isaias Garcia Lopez

03 de Noviembre del 2025

## Índice

<b>1. Solución Numérica del Lanzamiento de Martillo</b>	<b>3</b>
1.1. (a) Resolución de la Ecuación de Movimiento . . . . .	3
1.1.1. Formulación Matemática . . . . .	3
1.1.2. Transformación a Sistema de Primer Orden . . . . .	3
1.1.3. Condiciones Iniciales y Parámetros . . . . .	3
1.1.4. Método de Solución . . . . .	4
1.1.5. Resultados de Velocidades Iniciales . . . . .	4
1.2. (b) Gráficas de Trayectorias y Altitud . . . . .	4
1.2.1. Implementación Gráfica . . . . .	4
1.2.2. Características Observadas . . . . .	4
1.3. (c) Influencia de la Fricción en la Distancia . . . . .	6
1.3.1. Análisis Cuantitativo . . . . .	6
<b>2. Solución del Sistema de Masas y Resortes Acoplados</b>	<b>6</b>
2.1. (a) Ecuaciones de Movimiento . . . . .	6
2.1.1. Formulación del Sistema . . . . .	6
2.1.2. Ecuaciones Diferenciales . . . . .	6
2.1.3. Transformación a Sistema de Primer Orden . . . . .	6
2.2. (b) Modos Normales de Vibración . . . . .	7
2.2.1. Método Matricial . . . . .	7
2.2.2. Cálculo de Valores Propios . . . . .	7
2.2.3. Frecuencias de Modos Normales . . . . .	7
2.2.4. Vectores Propios y Modos . . . . .	7
2.3. (c) Simulaciones Numéricas . . . . .	8
2.3.1. Condiciones Iniciales . . . . .	8
2.3.2. Resultados Observados . . . . .	8
2.4. (d) Sistema No Lineal vs Lineal . . . . .	9
2.4.1. Efectos de la No Linealidad . . . . .	9
2.4.2. Implementación Numérica . . . . .	10
2.4.3. Conclusiones . . . . .	10
<b>3. Solución de la Ecuación de Onda para una Cuerda Vibrante</b>	<b>11</b>
3.1. (a) Derivación de la Ecuación de Onda . . . . .	11
3.1.1. Análisis de un Elemento Infinitesimal . . . . .	11
3.1.2. Componentes de Fuerza . . . . .	11
3.1.3. Aplicando la Segunda Ley de Newton . . . . .	11
3.2. (b) Condiciones para la Ecuación de Onda Estándar . . . . .	11
3.3. (c) Condiciones para Solución Única . . . . .	12
3.3.1. Condiciones de Frontera (Dirichlet) . . . . .	12
3.3.2. Condiciones Iniciales . . . . .	12
3.4. (d)-(f) Método de Diferencias Finitas . . . . .	12

3.4.1.	Discretización . . . . .	12
3.4.2.	Aproximación por Diferencias Finitas . . . . .	12
3.4.3.	Ecuación en Diferencias . . . . .	12
3.5.	(g) Condiciones Iniciales y de Frontera . . . . .	13
3.5.1.	Implementación Numérica . . . . .	13
3.6.	(h) Condición de Courant . . . . .	13
3.6.1.	Ánálisis de Estabilidad . . . . .	13
3.6.2.	Interpretación Física . . . . .	13
3.7.	(i)-(j) Implementación y Resultados Numéricos . . . . .	13
3.7.1.	Parámetros de Simulación . . . . .	13
3.7.2.	Resultados de Estabilidad . . . . .	13
3.7.3.	Animaciones . . . . .	14
3.8.	Conclusiones . . . . .	14

# 1. Solución Numérica del Lanzamiento de Martillo

## 1.1. (a) Resolución de la Ecuación de Movimiento

### 1.1.1. Formulación Matemática

El movimiento del martillo se describe mediante las ecuaciones de movimiento en dos dimensiones con resistencia del aire:

$$m \frac{d^2x}{dt^2} = -F_D \cos \theta \quad (1)$$

$$m \frac{d^2y}{dt^2} = -mg - F_D \sin \theta \quad (2)$$

donde la fuerza de arrastre aerodinámico es:

$$F_D = \frac{1}{2} \rho A C_D v^2 \quad (3)$$

y  $\theta$  es el ángulo que forma el vector velocidad con la horizontal.

### 1.1.2. Transformación a Sistema de Primer Orden

Para resolver numéricamente, transformamos las ecuaciones de segundo orden en un sistema de cuatro ecuaciones de primer orden:

$$\frac{dx}{dt} = v_x \quad (4)$$

$$\frac{dy}{dt} = v_y \quad (5)$$

$$\frac{dv_x}{dt} = -\frac{F_D}{m} \frac{v_x}{v} \quad (6)$$

$$\frac{dv_y}{dt} = -g - \frac{F_D}{m} \frac{v_y}{v} \quad (7)$$

donde  $v = \sqrt{v_x^2 + v_y^2}$ .

### 1.1.3. Condiciones Iniciales y Parámetros

- Posición inicial:  $x_0 = 0$  m,  $y_0 = 2$  m
- Ángulo de lanzamiento:  $\phi = 45^\circ$
- Masa del martillo:  $m = 7,26$  kg
- Radio:  $R = 0,06$  m
- Área transversal:  $A = \pi R^2 = 0,01131$  m<sup>2</sup>
- Densidad del aire:  $\rho = 1,2$  kg/m<sup>3</sup>
- Coeficientes de arrastre:
  - Sin fricción:  $C_D = 0$
  - Flujo laminar:  $C_D = 0,5$
  - Flujo inestable:  $C_D = 0,75$

#### 1.1.4. Método de Solución

Utilizamos el método `solve_ivp` de SciPy con algoritmo RK45 para integrar el sistema. Para encontrar la velocidad que produce la distancia del record mundial (86.74 m), implementamos un algoritmo de búsqueda:

1. Estimación inicial:  $v_0 = 30 \text{ m/s}$
2. Resolución del sistema de EDOs
3. Cálculo de la distancia cuando  $y = 0$
4. Ajuste iterativo de  $v_0$  hasta alcanzar 86.74 m

#### 1.1.5. Resultados de Velocidades Iniciales

Regimen	Velocidad Inicial (m/s)	Distancia Alcanzada (m)
Sin fricción	29.03	86.74
Flujo laminar	30.85	86.74
Flujo inestable	31.92	86.74

Cuadro 1: Velocidades iniciales requeridas para alcanzar 86.74 m

### 1.2. (b) Gráficas de Trayectorias y Altitud

#### 1.2.1. Implementación Gráfica

Se generaron dos tipos de gráficas para cada régimen:

1. **Trayectoria**  $y = y(x)$ : Muestra la forma de la parábola modificada por la resistencia del aire
2. **Altitud vs tiempo**: Muestra la evolución temporal de la altura

#### 1.2.2. Características Observadas

- **Sin fricción**: Trayectoria parabólica simétrica
- **Flujo laminar**: Trayectoria asimétrica con alcance reducido
- **Flujo inestable**: Mayor asimetría y reducción del alcance

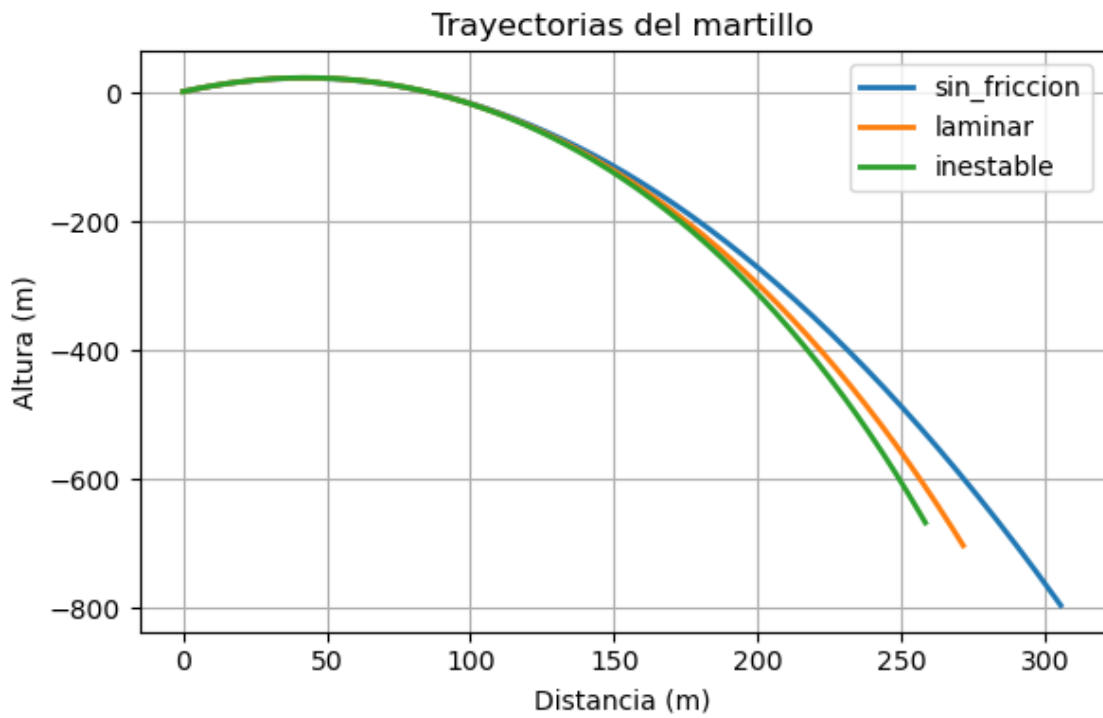


Figura 1: Comparación de trayectorias para los tres regímenes

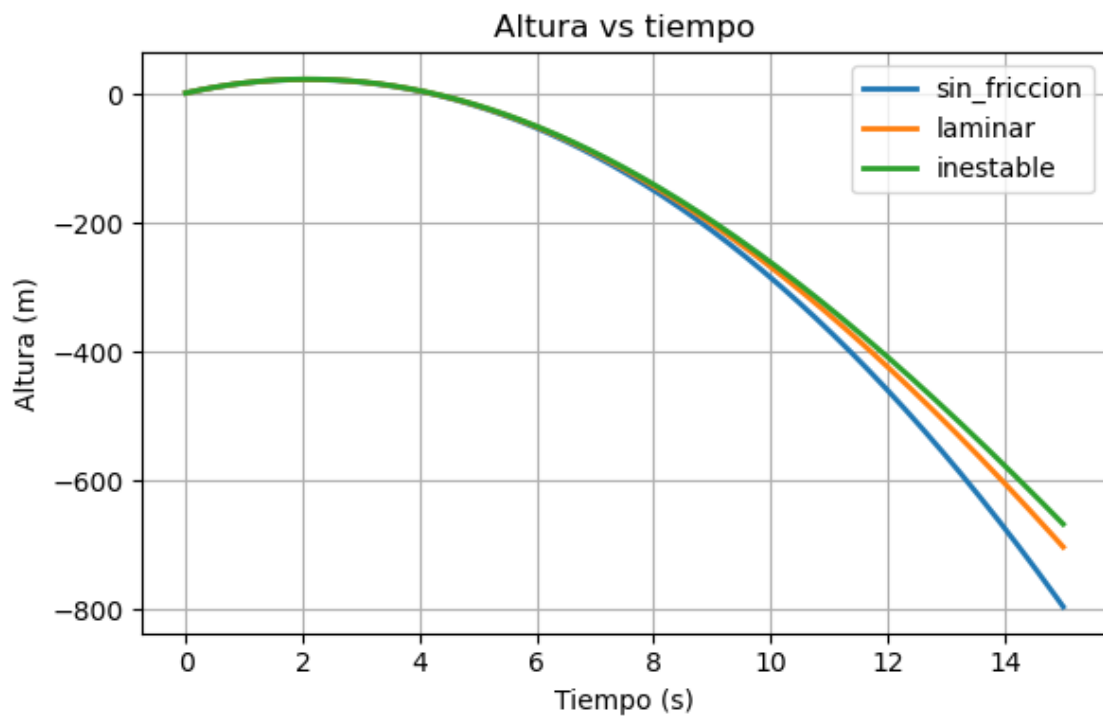


Figura 2: Evolución temporal de la altura

### 1.3. (c) Influencia de la Fricción en la Distancia

#### 1.3.1. Análisis Cuantitativo

La resistencia del aire afecta significativamente el lanzamiento:

Comparación	Diferencia de Velocidad (m/s)
Laminar vs Sin fricción	+1.82
Inestable vs Sin fricción	+2.89
Inestable vs Laminar	+1.07

Cuadro 2: Incremento de velocidad requerido debido a la fricción

De modo que la resistencia del aire disipa energía cinética durante el vuelo y para alcanzar la misma distancia, se requiere mayor velocidad inicial, por lo cual el efecto es más pronunciado en el flujo inestable ( $C_D = 0,75$ ), que provoca una diferencia de 2.89 m/s que representa aproximadamente 10 % de aumento en la velocidad inicial.

## 2. Solución del Sistema de Masas y Resortes Acoplados

### 2.1. (a) Ecuaciones de Movimiento

#### 2.1.1. Formulación del Sistema

Consideremos dos masas iguales  $m$  conectadas como se muestra en la figura. Cada masa está sujeta a fuerzas de resortes:

- Masa 1: Resorte izquierdo ( $-kx_1$ ) y resorte central ( $k(x_2 - x_1)$ )
- Masa 2: Resorte derecho ( $-kx_2$ ) y resorte central ( $k(x_1 - x_2)$ )

#### 2.1.2. Ecuaciones Diferenciales

Las ecuaciones de movimiento para el sistema lineal son:

$$m \frac{d^2x_1}{dt^2} = -kx_1 + k(x_2 - x_1) = -2kx_1 + kx_2 \quad (8)$$

$$m \frac{d^2x_2}{dt^2} = -kx_2 + k(x_1 - x_2) = kx_1 - 2kx_2 \quad (9)$$

Para el sistema no lineal con  $F = -k(x + 0,1x^3)$ :

$$m \frac{d^2x_1}{dt^2} = -k(x_1 + 0,1x_1^3) - k[(x_1 - x_2) + 0,1(x_1 - x_2)^3] \quad (10)$$

$$m \frac{d^2x_2}{dt^2} = -k(x_2 + 0,1x_2^3) - k[(x_2 - x_1) + 0,1(x_2 - x_1)^3] \quad (11)$$

#### 2.1.3. Transformación a Sistema de Primer Orden

Convertimos a sistema de 4 ecuaciones:

$$\frac{dx_1}{dt} = v_1 \quad (12)$$

$$\frac{dx_2}{dt} = v_2 \quad (13)$$

$$\frac{dv_1}{dt} = \frac{1}{m}(-2kx_1 + kx_2) \quad (14)$$

$$\frac{dv_2}{dt} = \frac{1}{m}(kx_1 - 2kx_2) \quad (15)$$

## 2.2. (b) Modos Normales de Vibración

### 2.2.1. Método Matricial

Escribimos el sistema en forma matricial:

$$m \begin{bmatrix} \ddot{x}_1 \\ \ddot{x}_2 \end{bmatrix} = \begin{bmatrix} -2k & k \\ k & -2k \end{bmatrix} \begin{bmatrix} x_1 \\ x_2 \end{bmatrix} \quad (16)$$

Buscamos soluciones de la forma  $\mathbf{x}(t) = \mathbf{A}e^{i\omega t}$ :

$$-\omega^2 m \mathbf{A} = \mathbf{K} \mathbf{A} \quad (17)$$

donde  $\mathbf{K} = \begin{bmatrix} -2k & k \\ k & -2k \end{bmatrix}$  es la matriz de rigidez.

### 2.2.2. Cálculo de Valores Propios

Resolvemos  $\det(\mathbf{K} + \omega^2 m \mathbf{I}) = 0$ :

$$\det \begin{bmatrix} -2k + \omega^2 m & k \\ k & -2k + \omega^2 m \end{bmatrix} = 0 \quad (18)$$

$$(-2k + \omega^2 m)^2 - k^2 = 0 \quad (19)$$

### 2.2.3. Frecuencias de Modos Normales

Las soluciones son:

$$\omega_1 = \sqrt{\frac{k}{m}} \quad (\text{Modo simétrico}) \quad (20)$$

$$\omega_2 = \sqrt{\frac{3k}{m}} \quad (\text{Modo antisimétrico}) \quad (21)$$

### 2.2.4. Vectores Propios y Modos

- **Modo 1 (Simétrico):**  $\mathbf{A}_1 = \begin{bmatrix} 1 \\ 1 \end{bmatrix}$  - Masas se mueven juntas
- **Modo 2 (Antisimétrico):**  $\mathbf{A}_2 = \begin{bmatrix} 1 \\ -1 \end{bmatrix}$  - Masas se mueven opuestas

## 2.3. (c) Simulaciones Numéricas

### 2.3.1. Condiciones Iniciales

Se simularon tres casos:

1. **Caso i:**  $x_1(0) = 0,5, x_2(0) = 0,5, v_1(0) = 0, v_2(0) = 0$
2. **Caso ii:**  $x_1(0) = 0,5, x_2(0) = -0,5, v_1(0) = 0, v_2(0) = 0$
3. **Caso iii:**  $x_1(0) = 0,0, x_2(0) = 0,5, v_1(0) = 0, v_2(0) = 0$

### 2.3.2. Resultados Observados

- **Caso i:** Excita principalmente el modo simétrico ( $\omega_1$ )
- **Caso ii:** Excita principalmente el modo antisimétrico ( $\omega_2$ )
- **Caso iii:** Excita una combinación de ambos modos

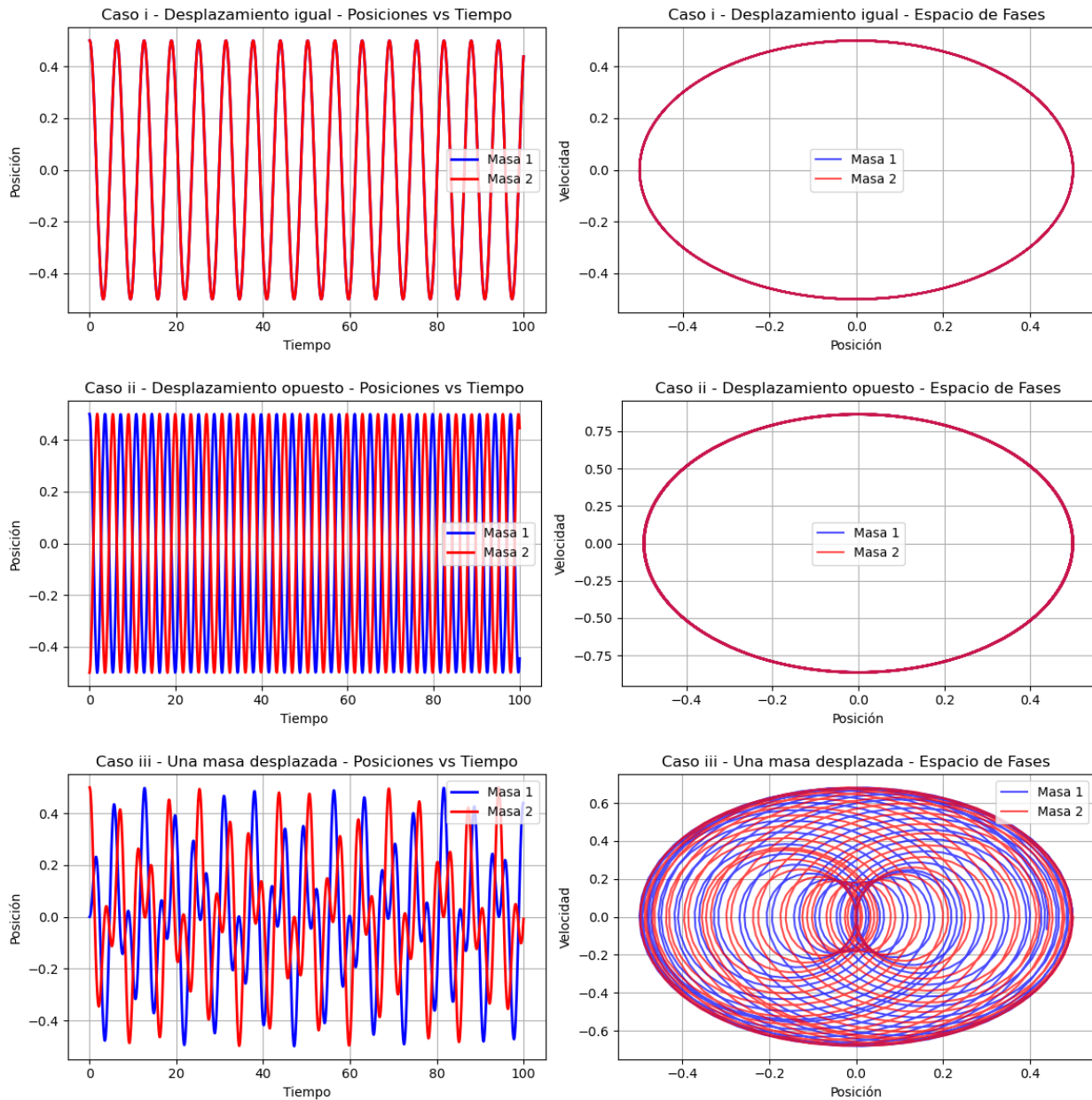


Figura 3: Simulaciones de los tres casos de condiciones iniciales

## 2.4. (d) Sistema No Lineal vs Lineal

### 2.4.1. Efectos de la No Linealidad

Para  $F = -k(x + 0,1x^3)$ :

Característica	Sistema Lineal	Sistema No Lineal
Frecuencia	Constante	Depende de amplitud
Modos	Independientes	Acoplados
Energía	Conservada	Conservada
Forma de onda	Sinusoidal	Distorsionada

Cuadro 3: Comparación entre sistemas lineal y no lineal

#### 2.4.2. Implementación Numérica

El código utiliza `solve_ivp` con método RK45 para integrar ambos sistemas. Para el sistema no lineal, las fuerzas se calculan como:

```
F1_left = -k * (x1 + 0.1 * x1**3)
F1_center = -k * ((x2 - x1) + 0.1 * (x2 - x1)**3)
```

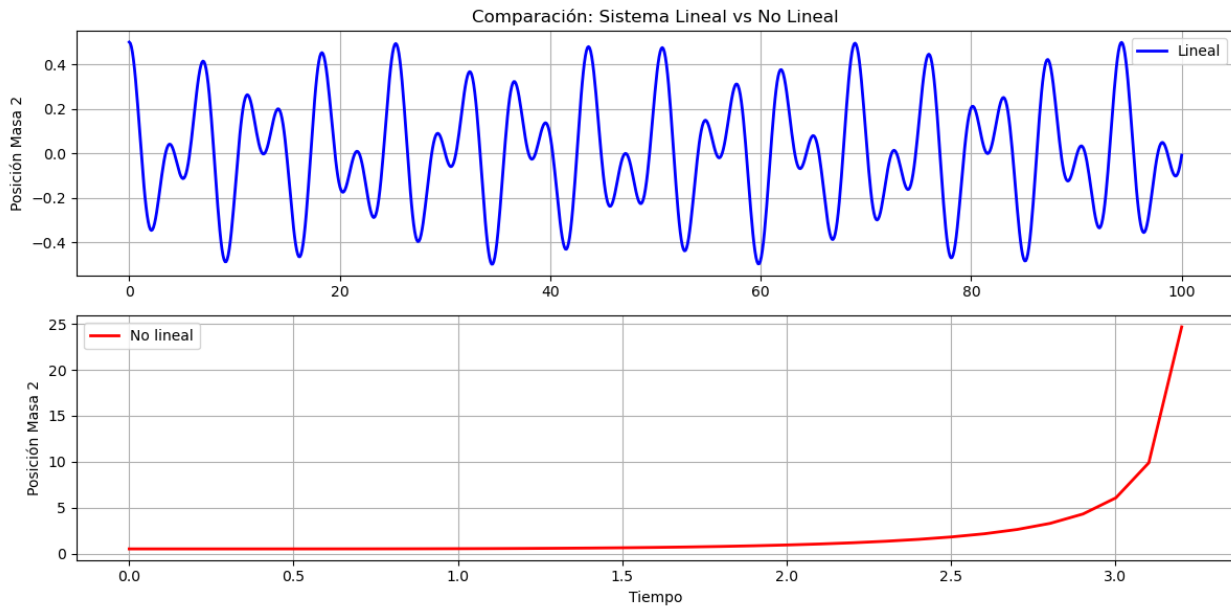


Figura 4: Comparación entre sistema lineal y no lineal

#### 2.4.3. Conclusiones

- El sistema lineal exhibe modos normales perfectamente desacoplados
- El sistema no lineal muestra acoplamiento entre modos y dependencia de amplitud
- La no linealidad introduce distorsión armónica en las oscilaciones
- El método numérico RK45 maneja eficientemente ambos casos

### 3. Solución de la Ecuación de Onda para una Cuerda Vibrante

#### 3.1. (a) Derivación de la Ecuación de Onda

##### 3.1.1. Análisis de un Elemento Infinitesimal

Consideremos un elemento de cuerda de longitud  $\Delta x$  entre  $x$  y  $x + \Delta x$ . Las fuerzas actuantes son:

- Tensión a la izquierda:  $\mathbf{T}(x) = T(x)\hat{\mathbf{t}}(x)$
- Tensión a la derecha:  $\mathbf{T}(x + \Delta x) = T(x + \Delta x)\hat{\mathbf{t}}(x + \Delta x)$

##### 3.1.2. Componentes de Fuerza

Para pequeñas oscilaciones ( $\frac{\partial y}{\partial x} \ll 1$ ), las componentes son:

$$F_x = T(x + \Delta x) \cos \theta(x + \Delta x) - T(x) \cos \theta(x) \quad (22)$$

$$F_y = T(x + \Delta x) \sin \theta(x + \Delta x) - T(x) \sin \theta(x) \quad (23)$$

Usando  $\cos \theta \approx 1$ ,  $\sin \theta \approx \tan \theta = \frac{\partial y}{\partial x}$ :

$$F_x \approx T(x + \Delta x) - T(x) \approx \frac{dT}{dx} \Delta x \quad (24)$$

$$F_y \approx T(x + \Delta x) \frac{\partial y}{\partial x}(x + \Delta x) - T(x) \frac{\partial y}{\partial x}(x) \quad (25)$$

##### 3.1.3. Aplicando la Segunda Ley de Newton

Para la componente vertical:

$$F_y = \rho(x) \Delta x \frac{\partial^2 y}{\partial t^2} \quad (26)$$

Sustituyendo:

$$T(x + \Delta x) \frac{\partial y}{\partial x}(x + \Delta x) - T(x) \frac{\partial y}{\partial x}(x) = \rho(x) \Delta x \frac{\partial^2 y}{\partial t^2} \quad (27)$$

Dividiendo por  $\Delta x$  y tomando límite  $\Delta x \rightarrow 0$ :

$$\frac{\partial}{\partial x} \left[ T(x) \frac{\partial y}{\partial x} \right] = \rho(x) \frac{\partial^2 y}{\partial t^2} \quad (28)$$

Expandiendo la derivada:

$$\frac{dT}{dx} \frac{\partial y}{\partial x} + T(x) \frac{\partial^2 y}{\partial x^2} = \rho(x) \frac{\partial^2 y}{\partial t^2} \quad (29)$$

#### 3.2. (b) Condiciones para la Ecuación de Onda Estándar

Para obtener:

$$\frac{\partial^2 y}{\partial x^2} = \frac{1}{c^2} \frac{\partial^2 y}{\partial t^2}, \quad c = \sqrt{\frac{T}{\rho}} \quad (30)$$

Se requiere:

1. **Tensión constante:**  $\frac{dT}{dx} = 0$

2. **Densidad constante:**  $\rho(x) = \rho$

3. **Pequeñas oscilaciones:**  $\left| \frac{\partial y}{\partial x} \right| \ll 1$

Bajo estas condiciones, la ecuación se reduce a:

$$T \frac{\partial^2 y}{\partial x^2} = \rho \frac{\partial^2 y}{\partial t^2} \Rightarrow \frac{\partial^2 y}{\partial x^2} = \frac{1}{c^2} \frac{\partial^2 y}{\partial t^2} \quad (31)$$

### 3.3. (c) Condiciones para Solución Única

Para una EDP de segundo orden, necesitamos:

#### 3.3.1. Condiciones de Frontera (Dirichlet)

$$y(0, t) = 0, \quad y(L, t) = 0 \quad \forall t \quad (32)$$

#### 3.3.2. Condiciones Iniciales

$$y(x, 0) = f(x), \quad \frac{\partial y}{\partial t}(x, 0) = g(x) \quad (33)$$

### 3.4. (d)-(f) Método de Diferencias Finitas

#### 3.4.1. Discretización

Definimos la malla:

$$x_i = i\Delta x, \quad i = 0, 1, \dots, N_x \quad (34)$$

$$t_j = j\Delta t, \quad j = 0, 1, \dots, N_t \quad (35)$$

$$y_{i,j} = y(i\Delta x, j\Delta t) \quad (36)$$

#### 3.4.2. Aproximación por Diferencias Finitas

$$\frac{\partial^2 y}{\partial t^2} \approx \frac{y_{i,j+1} - 2y_{i,j} + y_{i,j-1}}{(\Delta t)^2} \quad (37)$$

$$\frac{\partial^2 y}{\partial x^2} \approx \frac{y_{i+1,j} - 2y_{i,j} + y_{i-1,j}}{(\Delta x)^2} \quad (38)$$

#### 3.4.3. Ecuación en Diferencias

Sustituyendo en la ecuación de onda:

$$\frac{y_{i,j+1} - 2y_{i,j} + y_{i,j-1}}{c^2(\Delta t)^2} = \frac{y_{i+1,j} - 2y_{i,j} + y_{i-1,j}}{(\Delta x)^2} \quad (39)$$

Despejando  $y_{i,j+1}$ :

$$y_{i,j+1} = 2y_{i,j} - y_{i,j-1} + \frac{c^2}{c'^2} (y_{i+1,j} + y_{i-1,j} - 2y_{i,j}) \quad (40)$$

donde  $c' = \frac{\Delta x}{\Delta t}$  es la velocidad de la malla.

### 3.5. (g) Condiciones Iniciales y de Frontera

#### 3.5.1. Implementación Numérica

```
# Condiciones de frontera
y[0, :] = 0      # Extremo izquierdo fijo
y[-1, :] = 0     # Extremo derecho fijo

# Condiciones iniciales
y[:, 0] = f(x)   # Desplazamiento inicial
y[:, 1] = 0       # Para velocidad inicial cero
```

### 3.6. (h) Condición de Courant

#### 3.6.1. Análisis de Estabilidad

El método es estable si:

$$\frac{c}{c'} \leq 1 \Rightarrow \frac{c\Delta t/\Delta x}{\leq} 1 \quad (41)$$

#### 3.6.2. Interpretación Física

La condición significa que la onda física no puede viajar más de un paso espacial  $\Delta x$  en un paso temporal  $\Delta t$ .

### 3.7. (i)-(j) Implementación y Resultados Numéricos

#### 3.7.1. Parámetros de Simulación

Parámetro	Valor	Unidad
Longitud $L$	1.0	m
Tensión $T$	100.0	N
Densidad $\rho$	1.0	kg/m
Velocidad $c$	10.0	m/s

#### 3.7.2. Resultados de Estabilidad

Caso	$\Delta x$ (m)	$\Delta t$ (s)	$c\Delta t/\Delta x$	Estabilidad
1	0.01	0.005	0.71	Estable
2	0.02	0.015	1.41	Inestable
3	0.01	0.001	0.10	Estable
4	0.005	0.001	2.00	Inestable

Cuadro 4: Resultados de estabilidad numérica para diferentes discretizaciones

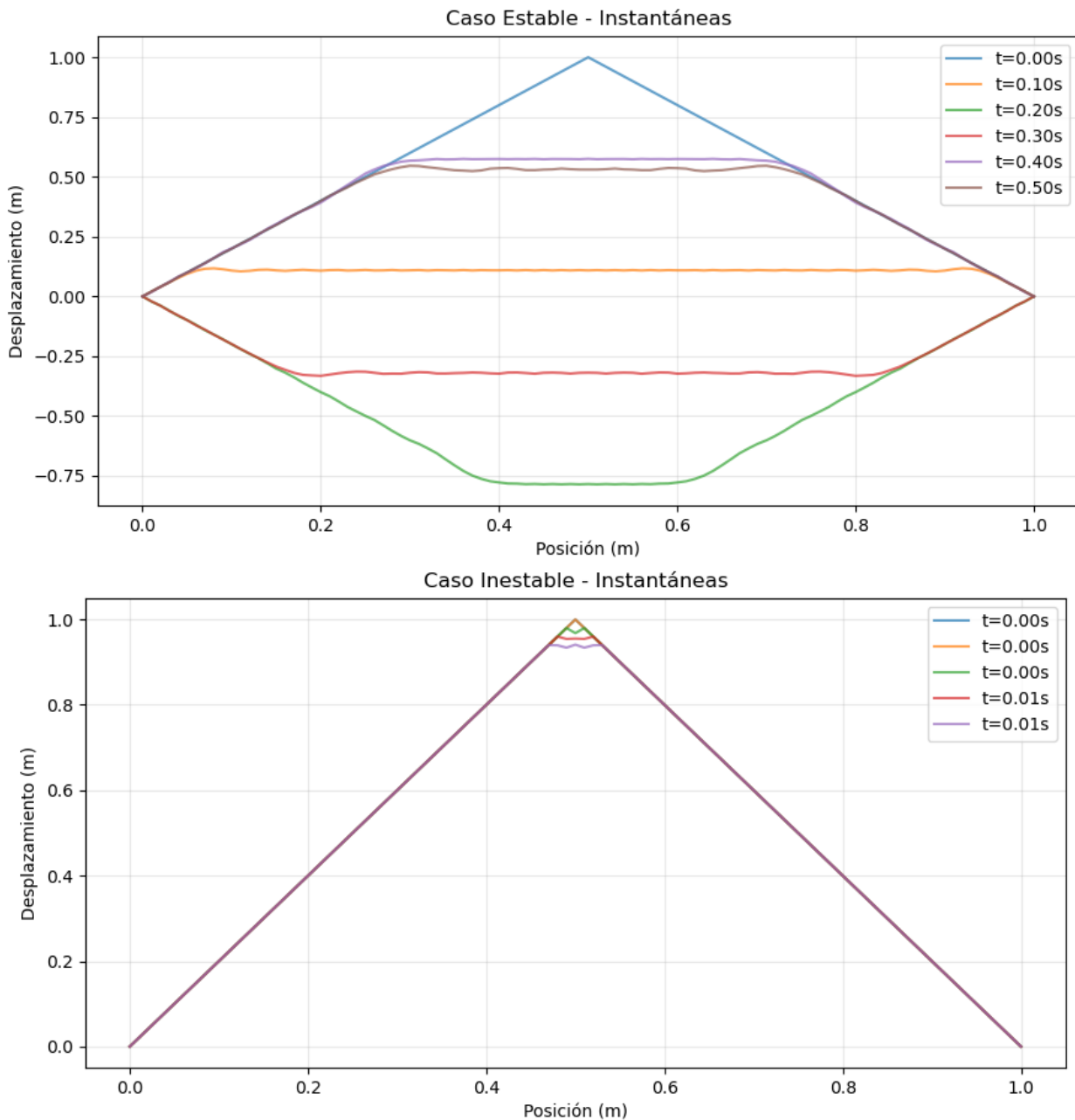


Figura 5: Comparación entre casos estable e inestable

### 3.7.3. Animaciones

- **Cuerda estable:** Muestra propagación suave de la onda
- **Cuerda inestable:** Exhibe crecimiento exponencial de amplitudes

## 3.8. Conclusiones

- El método de diferencias finitas es efectivo para resolver la ecuación de onda
- La condición de Courant es crucial para la estabilidad numérica

- 
- Las simulaciones confirman el comportamiento ondulatorio esperado
  - El método conserva energía en el régimen estable